

Projet SMoG - Sentinel à Modes de Galerie

Post-doctorat acoustique : Matthieu Gallezot¹

Thèse optique : Corentin Guigot²

Permanents : Odile Abraham¹, Marc François², Yann Lecieux², Dominique Leduc², Cyril Lupi²
et Fabien Treyssède¹

7 Novembre 2019

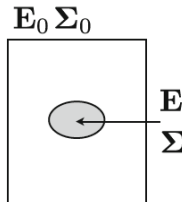
¹**Institut Français des Sciences et Technologies des Transports, de l'Aménagement et des Réseaux (IFST-TAR) - Site de Nantes-Bougenais**

²**Institut de Recherche en Génie Civil et Mécanique (GeM) - UMR 6183 - Université de Nantes**

Embedded 3D Strain Tensor Sensor Based on the Eshelby's Inclusion

Mechanical problem

- Problematic : Measurement of strain tensor components inside a medium (ϵ_{ij})
- Eshelby's theorem : relation between the strain tensor of an ellipsoidal inclusion and the strain tensor of the medium in which is the inclusion [Eshelby, 1957]



The symmetrical strain tensor is :

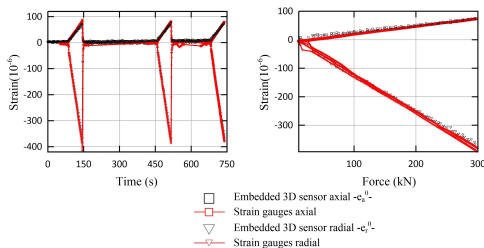
$$\begin{pmatrix} \epsilon_{11} & \epsilon_{12} & \epsilon_{13} \\ \epsilon_{12} & \epsilon_{22} & \epsilon_{23} \\ \epsilon_{13} & \epsilon_{23} & \epsilon_{33} \end{pmatrix}$$

- Six independent components \Rightarrow six measurements
- What type of measurement can we make... ?

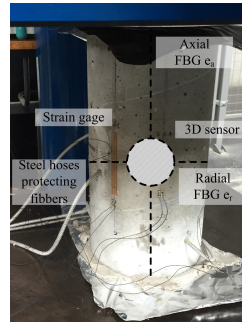
Sensor "Sentinelle" - optical fibers



The steel version of the sensor used for concrete testing (scale in cm).
[François et al., 2017]



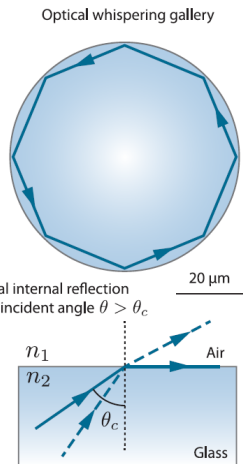
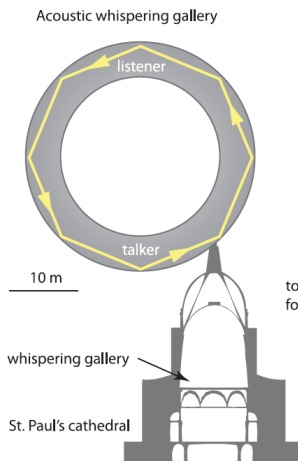
Strain versus time during compression testing on left, Strain versus force during compression testing on right. [François et al., 2017]



View of the concrete specimen instrumented by 3D sensor.
[François et al., 2017]

- Size (cm) prevents a wider usefulness

Sensor "SMoG" - whispering gallery modes



WGMs supported upon total internal reflection of either an acoustic (left) or an optical (right) wave. [Foreman *et al.*, 2015]

With a link between optical properties and the geometry...

$$\Delta\mathcal{L} = f(\Delta\mathcal{P})$$

with \mathcal{L} the optical path and \mathcal{P} the perimeter

... and a link between the geometry and the strain sensor...

$$\epsilon_{kl} = f(\Delta\mathcal{P}_i), \quad i \in 1..6, \quad k \in 1..3, \quad l \in 1..3$$

with ϵ_{kl} the components of the strain tensor

we can measure a strain sensor with an optical measurement :

$$\epsilon = [K]\Delta\mathcal{P}$$



Whispering gallery modes for in-situ measurement of strain tensor

Institut de Recherche en Génie Civil et Mécanique (GeM) - UMR 6183
Université de Nantes

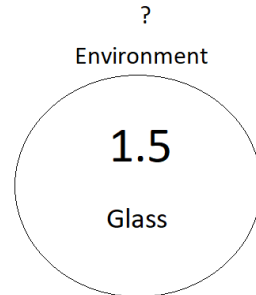
Unknown environment

- No control over environment index...



Sensor put in concrete

- ... so no control over WGM inside the sphere



Sensor put in an unknown environment, with a unknown optical index

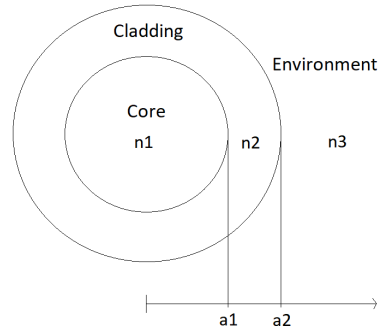
A cladded sphere

- No control over environment index...



Sensor put in concrete

- ... but we can isolate the core from the environment



Studied structure

Expression of the electromagnetic fields

Whispering gallery mode

Electromagnetic problem for a spherical system...

$$\Delta \vec{\mathcal{F}} + n_i^2 k_0^2 \vec{\mathcal{F}} = \vec{0}$$

... but vectorial Helmholtz equation has no analytical solution in spherical coordinates !

We will then create a basis in which we will express our electromagnetical fields $\vec{\mathcal{F}}$ ($\vec{\mathcal{F}} = \vec{E}$ or \vec{B}), following Hansen's method [Stratton, 1941].

Hansen's method

To create this basis, we need first to solve the scalar Helmholtz equation :

$$\Delta \mathcal{A} + n_i^2 k_0^2 \mathcal{A} = 0$$

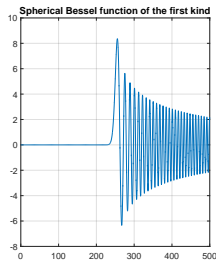
$$\frac{1}{r^2} \frac{\partial}{\partial r} \left(r^2 \frac{\partial}{\partial r} \mathcal{A} \right) + \frac{1}{r^2 \sin \theta} \frac{\partial}{\partial \theta} \left(\sin \theta \frac{\partial}{\partial \theta} \mathcal{A} \right) + \frac{1}{r^2 \sin^2 \theta} \frac{\partial}{\partial \phi^2} \mathcal{A} + k_i^2 \mathcal{A} = 0$$

Assuming that the function \mathcal{A} can be written ... we can find :
as the product of separate variable functions...

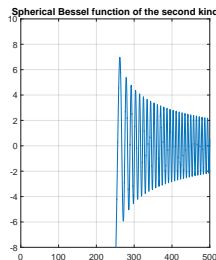
$$\mathcal{A}(r, \theta, \phi) = \mathcal{A}_r(r) \mathcal{A}_\theta(\theta) \mathcal{A}_\phi(\phi)$$

$$\mathcal{A}_{lm}(r, \theta, \phi) \left\{ \begin{array}{l} \mathcal{A}_r = u_l(r) \\ \mathcal{A}_\theta = P_l^m(\cos \theta) \\ \mathcal{A}_\phi = \exp(-im\phi) \end{array} \right.$$

Basis and EM fields



- Written $j_l(x) = \frac{\psi_\ell(x)}{x}$
- Null near 0
- Good representation of propagating fields



- Written $y_l(x) = \frac{\chi_\ell(x)}{x}$
- Diverges in 0
- Good representation of evanescent fields

We can build our vector basis :

$$\begin{cases} \vec{M}_{\ell m} = \vec{\nabla} \wedge \mathcal{A}_{lm}(r, \theta, \phi) \vec{e}_r \\ \vec{N}_{\ell m} = \vec{\nabla} \wedge \vec{\nabla} \wedge \mathcal{A}_{lm}(r, \theta, \phi) \vec{e}_r \end{cases}$$

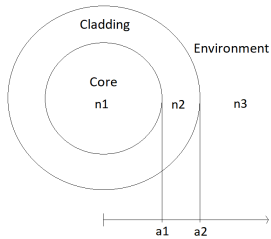
Then, electromagnetic fields in this new basis are :

$$\text{TE : } \begin{cases} \vec{E}_{\ell m} = \vec{M}_{\ell m} \\ \vec{B}_{\ell m} = -\frac{ik}{\omega} \vec{N}_{\ell m} \end{cases}$$

$$\text{TM : } \begin{cases} \vec{E}_{\ell m} = \vec{N}_{\ell m} \\ \vec{B}_{\ell m} = -\frac{ik}{\omega} \vec{M}_{\ell m} \end{cases}$$

Dispersion equations : example of the TE case

Continuity relations for TE case



$$\left\{ \begin{array}{ll} \text{Core} & : \mathcal{A}_r(r) = A_1 \frac{\psi_\ell(k_1 r)}{k_1 r} & \text{if } r < a_1 \\ \text{Cladding} & : \mathcal{A}_r(r) = A_2 \frac{\psi_\ell(k_2 r)}{k_2 r} + A_3 \frac{\chi_\ell(k_2 r)}{k_2 r} & \text{if } a_1 < r < a_2 \\ \text{Environment} & : \mathcal{A}_r(r) = A_4 \frac{\chi_\ell(k_3 r)}{k_3 r} & \text{if } r > a_2 \end{array} \right.$$

Two continuity relations for two interfaces (core/cladding and cladding/environment) :

$$\begin{pmatrix} \frac{\psi_\ell(k_1 a_1)}{k_1 a_1} & -\frac{\psi_\ell(k_2 a_1)}{k_2 a_1} & -\frac{\chi_\ell(k_2 a_1)}{k_2 a_1} & 0 \\ \psi'_\ell(k_1 a_1) & -\psi'_\ell(k_2 a_1) & -\chi'_\ell(k_2 a_1) & 0 \\ 0 & \frac{\psi_\ell(k_2 a_2)}{k_2 a_2} & \frac{\chi_\ell(k_2 a_2)}{k_2 a_2} & -\frac{\chi_\ell(k_3 a_2)}{k_3 a_2} \\ 0 & \psi_\ell(k_2 a_2) & \chi_\ell(k_2 a_2) & -\chi_\ell(k_3 a_2) \end{pmatrix} \begin{pmatrix} A_1 \\ A_2 \\ A_3 \\ A_4 \end{pmatrix} = 0$$

Dispersion relation for TE case

We then obtain, after a couple of simplifications :

$$\begin{aligned} & \frac{k_2}{k_3} \frac{\chi_\ell(k_3 a_2)}{\chi'_\ell(k_3 a_2)} [\psi_\ell(k_2 a_1) \chi'_\ell(k_2 a_2) - \psi'_\ell(k_2 a_2) \chi_\ell(k_2 a_1)] \\ & + \frac{k_2}{k_1} \frac{\psi_\ell(k_1 a_1)}{\psi'_\ell(k_1 a_1)} [\psi'_\ell(k_2 a_1) \chi_\ell(k_2 a_2) - \psi_\ell(k_2 a_2) \chi'_\ell(k_2 a_1)] \\ & + [\psi_\ell(k_2 a_2) \chi_\ell(k_2 a_1) - \psi_\ell(k_2 a_1) \chi_\ell(k_2 a_2)] \\ & + \frac{k_2 k_2}{k_1 k_3} \frac{\psi_\ell(k_1 a_1)}{\psi'_\ell(k_1 a_1)} \frac{\chi_\ell(k_3 a_2)}{\chi'_\ell(k_3 a_2)} [\psi'_\ell(k_2 a_2) \chi'_\ell(k_2 a_1) - \psi'_\ell(k_2 a_1) \chi'_\ell(k_2 a_2)] = 0 \end{aligned}$$

For a null-cladding, i.e. for $k_3 \rightarrow k_2$ and $a_2 \rightarrow a_1$, we find back the classical dispersion relation for WGM in a two-medium system :

$$\frac{\chi'_I(k_2 a_1)}{\chi_I(k_2 a_1)} = \frac{k_1}{k_2} \frac{\psi'_I(k_1 a_1)}{\psi_I(k_1 a_1)}$$

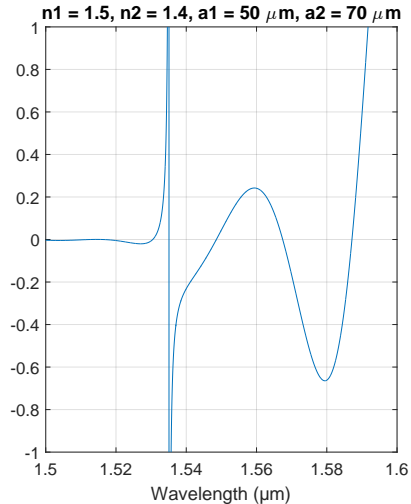
Examples of modes

Solving the dispersion relation in TE case...

- We will study a standard core :
 $a_1 = 50 \mu\text{m}$ and $n_1 = 1.5$
- We chose cladding in order to isolate the core : $a_2 = 70 \mu\text{m}$ and $n_2 = 1.4$
- A standard environment with $n_3 = 1$
- Solving the equation on
[$1.5 \mu\text{m} - 1.6 \mu\text{m}$] :

1512,737	1548,566
1516,160	1567,450
1530,455	1587,163

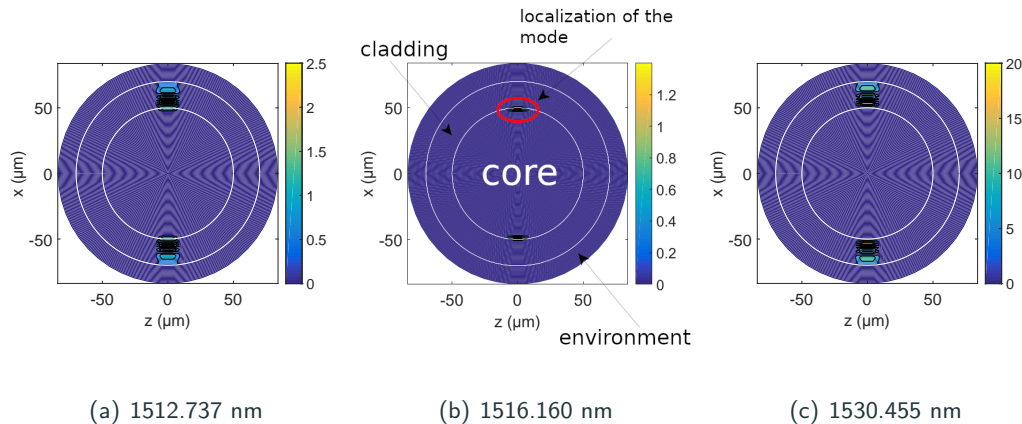
Resonance positions (in nm)



Dispersion curve for $\ell = 301$

Map of the electric field

Drawing of the three first resonances :



(a) 1512.737 nm

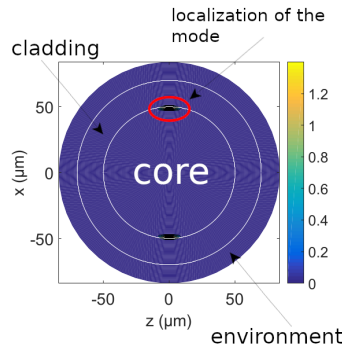
(b) 1516.160 nm

(c) 1530.455 nm

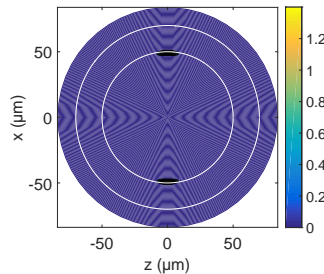
Electrical fields of several whispering gallery modes for $a_1 = 50 \mu\text{m}$, $a_2 = 70 \mu\text{m}$, $n_1 = 1.5$, $n_2 = 1.4$, $n_3 = 1$, $\ell = m = 301$

Containment of core modes

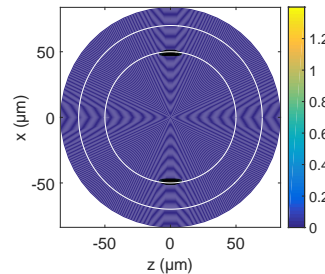
We study the stability of the core mode 1516.160 nm if n_3 is changing :



(a) $n_3 = 1$



(b) $n_3 = 3$



(c) $n_3 = 5$

Electrical fields of core mode $\lambda = 1516.160 \text{ nm}$ for $a_1 = 50 \mu\text{m}$, $a_2 = 70 \mu\text{m}$, $n_1 = 1.5$, $n_2 = 1.4$, $\ell = m = 301$

Conclusion

- General study of WGM in a multi-layer structure
- We establish the dispersion relation of WGM for a cladded sphere
- First numerical calculations show two types of mode : cladding modes and core modes
- Core modes seem to be insensitive to environment, they can be useful for the application of strain measurements



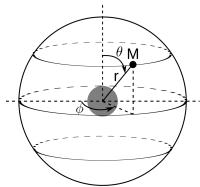
Calcul numérique des modes de galerie d'une sphère élastique

GIS ECND PdL, 7 Novembre 2019, Nantes



Contexte

Mode de galerie (optique) : mode confiné à la surface et à l'équateur. Existe-t-il des modes de galeries **élastiques** analogues ? \equiv Quelles sont les résonances (modes de vibrations) d'une sphère élastique enfouie ?



Enjeux :

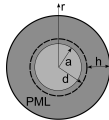
- calcul haute fréquence : ni modèle 3D, ni modèle analytique¹ (instable) \rightarrow **modèle 1D semi-analytique**
- calcul des résonances d'un système ouvert : épaisseur infinie + modes à fuite (valeurs impropre croissant à l'infini²) \rightarrow **troncature avec une Perfectly Matched Layer (PML)**

1. V. DUBROVSKIY et V. MOROCHNIK (1981), *Izv. Earth Phys* 17

2. P. LALANNE, W. YAN, K. VYNCK, C. SAUVAN et J.-P. HUGONIN (2018), *Laser & Photonics Reviews* 12; M. MANSURIPUR, M. KOLESIK et P. JAKOBSEN (2017), *Phys. Rev. A* 96 (1); M. GALLEZOT (2018), thèse de doct., Ecole Centrale Nantes

Modèle numérique : forme de la solution

$$\int_{\tilde{V}} \delta \tilde{\epsilon}^T \tilde{\sigma} d\tilde{V} - \omega^2 \int_{\tilde{V}} \tilde{\rho} \delta \tilde{\mathbf{u}}^T \tilde{\mathbf{u}} d\tilde{V} = \int_{\tilde{V}} \delta \tilde{\mathbf{u}}^T \tilde{\mathbf{f}} d\tilde{V} + \int_{\partial \tilde{V}} \delta \tilde{\mathbf{u}}^T \tilde{\mathbf{t}} d\partial \tilde{V} \quad (1)$$



1. Troncature avec une PML

Atténuation le long du rayon :

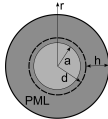
$$\tilde{r}(r) = \int_0^r \gamma(\xi) d\xi, \quad (2)$$

avec

- $\gamma(r) = 1$ si $r < d$,
- $\text{Im } \gamma(r) > 0$ si $d < r < d + h$.

Modèle numérique : forme de la solution

$$\int_{\tilde{V}} \delta \tilde{\epsilon}^T \tilde{\sigma} d\tilde{V} - \omega^2 \int_{\tilde{V}} \tilde{\rho} \delta \tilde{\mathbf{u}}^T \tilde{\mathbf{u}} d\tilde{V} = \int_{\tilde{V}} \delta \tilde{\mathbf{u}}^T \tilde{\mathbf{f}} d\tilde{V} + \int_{\partial \tilde{V}} \delta \tilde{\mathbf{u}}^T \tilde{\mathbf{t}} d\partial \tilde{V} \quad (1)$$



1. Troncature avec une PML

Atténuation le long du rayon :

$$\tilde{r}(r) = \int_0^r \gamma(\xi) d\xi, \quad (2)$$

avec

- $\gamma(r) = 1$ si $r < d$,
- $\text{Im } \gamma(r) > 0$ si $d < r < d + h$.

2. Description angulaire analytique

Transformée en harmoniques sphériques vectorielles

$$\mathbf{u}(r, \theta, \phi) = \sum_{l \geq 0} \sum_{|m| \leq l} \mathbf{S}_l^m(\theta, \phi) \hat{\mathbf{u}}_l^m(r) \quad (4)$$

avec

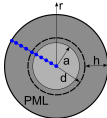
$$\mathbf{S}_l^m(\theta, \phi) = \begin{bmatrix} Y_l^m(\theta, \phi) & 0 & 0 \\ 0 & \frac{\partial Y_l^m(\theta, \phi)}{\partial \theta} & -\frac{\sin \theta \partial \phi}{\partial Y_l^m(\theta, \phi)} \\ 0 & \frac{\partial Y_l^m(\theta, \phi)}{\sin \theta \partial \phi} & \frac{\partial Y_l^m(\theta, \phi)}{\partial \theta} \end{bmatrix} \quad (5)$$

Harmoniques sphériques :

$$Y_l^m(\theta, \phi) = \sqrt{\frac{(2l+1)(l-m)!}{4\pi(l+m)!}} P_l^m(\cos \theta) e^{im\phi} \quad (6)$$

Modèle numérique : forme de la solution

$$\int_{\tilde{V}} \delta \tilde{\epsilon}^T \tilde{\sigma} d\tilde{V} - \omega^2 \int_{\tilde{V}} \tilde{\rho} \delta \tilde{\mathbf{u}}^T \tilde{\mathbf{u}} d\tilde{V} = \int_{\tilde{V}} \delta \tilde{\mathbf{u}}^T \tilde{\mathbf{f}} d\tilde{V} + \int_{\partial \tilde{V}} \delta \tilde{\mathbf{u}}^T \tilde{\mathbf{t}} d\partial \tilde{V} \quad (1)$$



1. Troncature avec une PML

Atténuation le long du rayon :

$$\tilde{r}(r) = \int_0^r \gamma(\xi) d\xi, \quad (2)$$

avec

- $\gamma(r) = 1$ si $r < d$,
- $\text{Im } \gamma(r) > 0$ si $d < r < d + h$.

3. Interpolation radiale

$$\hat{\mathbf{u}}_l^{m,e}(r) = \mathbf{N}^e(r) \hat{\mathbf{U}}_l^{m,e} \quad (3)$$

2. Description angulaire analytique

Transformée en harmoniques sphériques vectorielles

$$\mathbf{u}(r, \theta, \phi) = \sum_{l \geq 0} \sum_{|m| \leq l} \mathbf{S}_l^m(\theta, \phi) \hat{\mathbf{u}}_l^m(r) \quad (4)$$

avec

$$\mathbf{S}_l^m(\theta, \phi) = \begin{bmatrix} Y_l^m(\theta, \phi) & 0 & 0 \\ 0 & \frac{\partial Y_l^m(\theta, \phi)}{\partial \theta} & -\frac{\sin \theta \partial \phi}{\partial Y_l^m(\theta, \phi)} \\ 0 & \frac{\partial Y_l^m(\theta, \phi)}{\sin \theta \partial \phi} & \frac{\partial Y_l^m(\theta, \phi)}{\partial \theta} \end{bmatrix} \quad (5)$$

Harmoniques sphériques :

$$Y_l^m(\theta, \phi) = \sqrt{\frac{(2l+1)(l-m)!}{4\pi(l+m)!}} P_l^m(\cos \theta) e^{im\phi} \quad (6)$$

Modèle numérique : dérivation

4. Choix des fonctions tests

On pose $\delta \mathbf{u}^T(r, \theta, \phi) = \delta \hat{\mathbf{u}}^T(r) \mathbf{S}_k^{p*}$ pour bénéficier de l'orthogonalité

- des harmoniques sphériques vectorielles

$$\int_0^\pi \int_0^{2\pi} \mathbf{S}_k^{p*} \mathbf{S}_l^m d\phi \sin \theta d\theta = \begin{bmatrix} 1 & 0 & 0 \\ 0 & \bar{l} & 0 \\ 0 & 0 & \bar{l} \end{bmatrix} \delta_{kl} \delta_{mp}, \quad (7)$$

avec $\bar{l} = l(l+1)$ et * le conjugué transposé.

- des harmoniques sphériques tensorielles (voir Z. MARTINEC (2000), *Geophysical Journal International* 142).

Modèle numérique : dérivation

4. Choix des fonctions tests

On pose $\delta \mathbf{u}^T(r, \theta, \phi) = \delta \hat{\mathbf{u}}^T(r) \mathbf{S}_k^{P*}$ pour bénéficier de l'orthogonalité

- des harmoniques sphériques vectorielles
- des harmoniques sphériques tensorielles (voir Z. MARTINEC (2000), *Geophysical Journal International* 142).

Système élément fini

Après de longs calculs...on obtient :

$$(\mathbf{K}(I) - \omega^2 \mathbf{M}(I)) \hat{\mathbf{U}}_I^m = \hat{\mathbf{F}}_I^m \quad (7)$$

Matrices élémentaires :

$$\mathbf{K}_1^e(I) = \int \frac{d\mathbf{N}^e T}{dr} \begin{bmatrix} C_{11} & 0 & 0 \\ 0 & \bar{l}C_{55} & 0 \\ 0 & 0 & \bar{l}C_{55} \end{bmatrix} \frac{d\mathbf{N}^e}{dr} \frac{r^2}{\gamma} dr, \quad \mathbf{K}_2^e(I) = \int \frac{d\mathbf{N}^e T}{dr} \begin{bmatrix} 2C_{12} & -\bar{l}C_{12} & 0 \\ \bar{l}C_{55} & -\bar{l}C_{55} & 0 \\ 0 & 0 & -\bar{l}C_{55} \end{bmatrix} \mathbf{N}^e \tilde{r} dr, \quad (8)$$

$$\mathbf{K}_3^e(I) = \int \mathbf{N}^e T \begin{bmatrix} \bar{l}C_{55} + 4(C_{23} + C_{44}) & -\bar{l}(C_{55} + 2(C_{23} + C_{44})) & 0 \\ -\bar{l}(C_{55} + 2(C_{23} + C_{44})) & \bar{l}^2 C_{23} + \bar{l}C_{55} + 2\bar{l}(\bar{l}-1)C_{44} & 0 \\ 0 & 0 & \bar{l}C_{55} + \bar{l}(\bar{l}-2)C_{44} \end{bmatrix} \mathbf{N}^e \gamma dr. \quad (9)$$

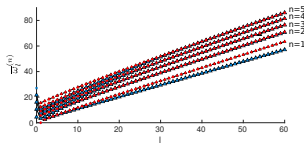
$$\mathbf{M}^e(I) = \int \rho \mathbf{N}^e T \begin{bmatrix} 1 & 0 & 0 \\ 0 & \bar{l} & 0 \\ 0 & 0 & \bar{l} \end{bmatrix} \mathbf{N}^e r^2 \gamma dr. \quad (10)$$

Résonances : modes de galerie pour une sphère à surface libre

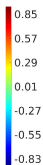
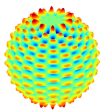
Les fréquences propres $\omega_l^{(n)}$ sont solutions de :

$$(\mathbf{K}(l) - \omega^2 \mathbf{M}(l)) \hat{\mathbf{U}}_l^m = \mathbf{0} \quad (11)$$

Résultats de validation pour une sphère à surface libre (sans PML). Comparaison avec les résultats de [A. C. ERINGEN et E. S. ŞUHUBİ \(1975\), t. II, Academic Press](#)



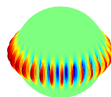
Harmonique tesserale.



$$l = 30, n = 1, m = 10$$

$$\text{Déplacement normal } u_r \text{ à } \bar{\omega}_{30}^{(1)} = 29.46$$

Harmonique sectorielle \equiv mode de galerie



$$l = 30, n = 1, m = l = 30.$$

Réponse forcée : onde de Rayleigh collimatée

Réponse forcée par superposition modale

En utilisant l'orthogonalité des modes propres :

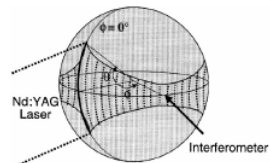
$$\mathbf{U}(\theta, \phi, t) = \sum_{l \geq 0} \sum_{|m| \leq l} \mathbf{S}_l^m(\theta, \phi) \frac{1}{2\pi} \int_{-\infty}^{+\infty} \left[\sum_{n=1}^N \frac{\hat{\mathbf{U}}_l^{(n)\top} \hat{\mathbf{F}}_l^m(\omega) \hat{\mathbf{U}}_l^{(n)}}{\omega_l^{(n)2} - \omega^2} \right] e^{-j\omega t} d\omega. \quad (12)$$

En rouge, la Fonction de Réponse Fréquentielle (FRF) pour une paire (l, m) .

Il est possible d'obtenir une onde de Rayleigh collimatée (D. CLORENNEC et D. ROYER (2004), *Applied physics letters* 85) :

Angle de collimation

$$\theta_{COL} = \sqrt{\frac{\pi CR}{4af_c}} \quad (13)$$



- Phénomène simulé correctement par le modèle (voir vidéos)
- Analyse modale : l'onde de Rayleigh collimatée est issue de la superposition de modes propres de galerie.

- étudier l'existence de modes de galerie peu atténusés (facteur de qualité élevé) en présence d'enrobant (modèle avec PML) → existence d'une onde piégée à l'interface ?
- le cas échéant, étudier les conditions de génération de ces modes (type de source à utiliser)

- étudier l'existence de modes de galerie peu atténusés (facteur de qualité élevé) en présence d'enrobant (modèle avec PML) → existence d'une onde piégée à l'interface ?
- le cas échéant, étudier les conditions de génération de ces modes (type de source à utiliser)

Merci pour votre attention !